径向排水オエドメーターにおける粘性土の真空・載荷圧密特性

佐賀大学 理工学部 学生会員 ○横町 瑞樹 佐賀大学 大学院工学系研究科 正会員 柴 錦春 非会員 齋藤 昭則

- 1. **はじめに** 真空圧密は有効な地盤改良工法の一つである. 載荷圧密過程では外向きの側方変位を生じ、改良領域周辺に隆起が生じる. それとは対照に、真空圧密過程では内向きの側方変位によりクラックが生じる¹⁾. この両者を組み合わせることにより、地盤に与える影響を軽減させたい. 真空圧密の適用はバーチカルドレーンとの併用による. 本研究では、まず現場の状況に近い径向排水オエドメーターで室内真空圧・載荷荷重を組み合わせた圧密試験を行い、沈下量、土圧係数の変化を測定する. 次に、その比較・検討を行い、真空・載荷組み合わせによる圧密変形特性における真空圧の載荷速度と割合の影響を明らかにする. 表-1 実験ケース
- 2. 圧密試験の条件 試験は層別圧密試験機を用いて行った. 真空圧を加え、試料に作用する水平土圧、過剰間隙水圧を測定するものである. 試料には有明粘土を用い、直径 60mm、高さ 20mmの供試体寸法とした. 試験方法について、撹拌した有明粘土を約-100kPaで24時間脱気し、直径 60mm、高さ 60mmのモールドに流し入れ、両面排水状態で 20kPa の荷重を 24 時間加える. その後モールドを外し、高さ 20mmにカットしたものが同圧密試験の供試体となる. この供試体の中央に直径 8mmのドレーンを模した焼結金属を装着し、これより-80kPaの真空圧を加え、段階的に載荷荷重(10~80kPa)を加える. このとき、側面の水圧(ue) および側面の土圧(全応力)を測定する. 実験ケースを表-1 に示す.

3. 実験結果および考察

(1)沈下量について 図-1 に示すように、沈下量は載荷荷 重速度が遅いケース 4 と 6 の方が大きく、載荷荷重速度 が速いケース 3 では小さい. 真空圧は試料に内向きの側 方変位を引き起こす傾向があり、試料と圧密リング間の 摩擦抵抗が減少する. かつ、載荷荷重速度が小さい場合、 リングと試料間の摩擦抵抗が小さく、後に加えた載荷荷 重による沈下量増分が大きくなると考えられる. この傾 向は、後述する土圧係数からも確認できる.

(2) 土圧係数 K について 土圧係数の算出には次の式(1)²⁾ を用いた.

$$K = \frac{(\sigma_{h0}^{'} + \Delta \sigma_{h}^{'})}{(\sigma_{v0}^{'} + \Delta \sigma_{v}^{'})} \tag{1}$$

ここで σ_{ho} : 初期水平有効応力, σ_{vo} : 初期垂直有効応力,

	T	,
ケース	真空圧pvac(kPa)	載荷荷重pL(kPa)
1	0	80
2	-80	0
3	-80	80(即時)
4	-80	80(10分ごとに10kPa)
5	-80	80(15分ごとに10kPa)
6	-80	80(30分ごとに10kPa)
7	-80	80(30分ごとに20kPa)
8	-80	(真空圧を加えた後、
		10分ごとに10kPa)

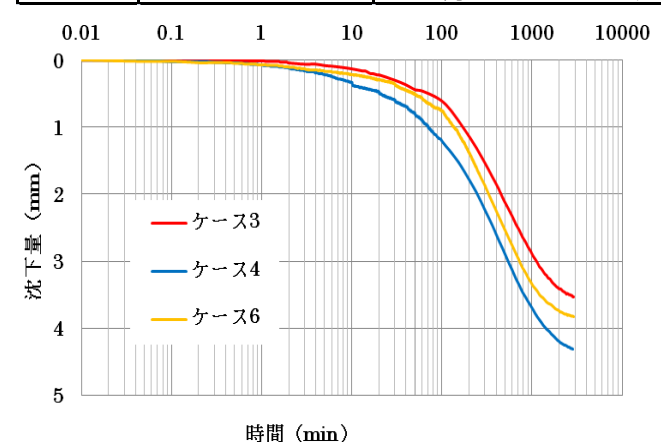


図-1 沈下量の変化

100
50
50
-ケース3
-ケース4
-ケース6
-100
0.01 0.1 1 10 100 1000 10000
時間 (min)

図-2 過剰間隙水圧の変化

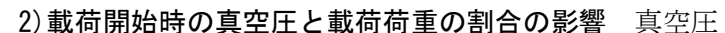
 $\Delta \sigma_h$: 土圧計位置の水平応力増分, $\Delta \sigma_v$: 土圧計位置の垂直応力増分である. また,本研究では径向排水条件下の実験を行っているため. 次の式(2) を用いる.

 $\sigma_{\rm v} = \sigma_{\rm v} - \bar{\rm u}_{\rm r} = \sigma_{\rm v} - 0.857 u_{\rm e}$ (2)

段階載荷の K 値の算出には、載荷荷重の値を載荷時に σ_v へ代入する.式(1)に示す土圧係数 (K) は、試料の側方変位の有無を表す指標となる。供試体とリングの間に間隙が生じれば、土圧計の測定値は真空圧 (マイナス) になるため、このマイナス圧力を負のリングからの拘束力と扱うことで K 値はマイナスになる。このとき、内向きの側方変位が生じていることになる。

1) 載荷荷重(p_L)の載荷速度が異なるケースでの K 値の 比較 図-3 に示すように、載荷速度を増加させたことに 伴い、圧密過程の K 値は増加した。しかし、K の最終値に は速度変化による目立った影響は認められなかった。 正規圧密された有明粘土の K_0 値を $0.5(K_0=1-\sin 0',0'=30')$

止規圧密された有明粘土の K_0 値を $0.5(K_0=1-\sin \phi',\phi'=30')$ と仮定 20 し、これを基準に各ケースを検討すると、ケース3、4では圧密過程において $K>K_0$ となるため、現場では外向きの側方変位が発生する可能性が高いといえる。ケース6では終始 $K<K_0$ となっているため、外向きの側方変位は発生していないと考えられる。しかし、最終土圧係数はどのケースも $K<K_0$ となった。載荷速度を遅くすることで外向きの変位量が小さくなることによるものと考えられる。



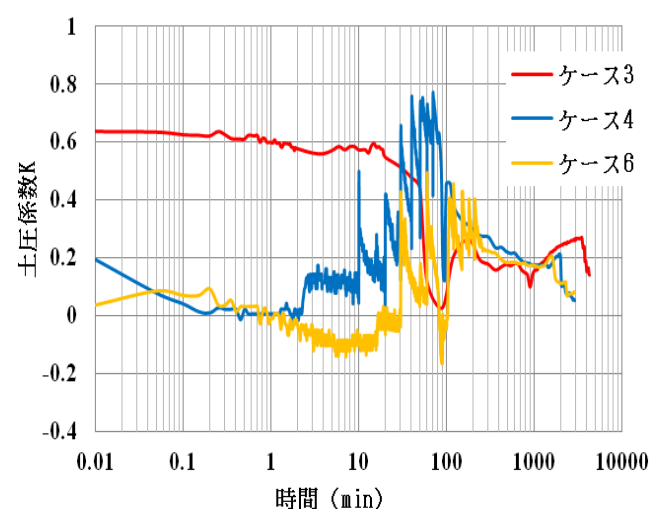


図-3 K値における載荷速度の影響

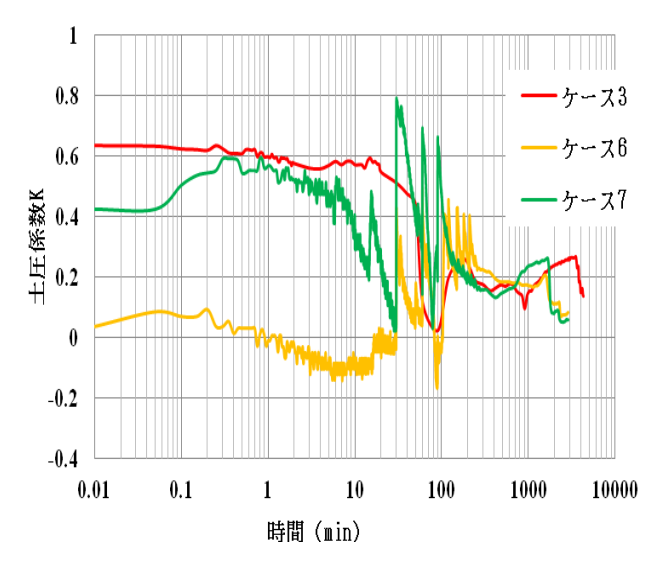


図-4 K値における初期載荷の割合の影響

-80kPa をかけると同時に、10kPa、20kPa、80kPa の載荷荷重を加えたもの(ケース 3、6 および 7)の K 値を**図**-4 に示した。載荷開始時に真空圧に比べ、載荷荷重が少ないケースでは K 値がより小さく、大きな側方変位を与えないと考えられる。他方、最終土圧係数はどのケースにも大きな差は認められない。このことから、初期の組み合せの割合が圧密過程の地盤の側方変位に大きく影響を及ぼすと考えられる。

4. **まとめ** 径向排水オエドメーター条件における径向排水での真空圧と載荷荷重の組合せ圧密試験を行い、結果の比較・検討により以下のことがわかった;(1)沈下量は圧密過程 10min~100min の間で K 値が小さいケース 4, 6 の方が大きく, K 値が大きくなるケース 3 は小さくなる傾向がある. これは、試料とリング間の摩擦力の違いによるものと考えられる;(2)載荷荷重の載荷速度は圧密過程の供試体に作用する土圧係数(K)に影響を及ぼし、速度が速いほど K 値が大きい;(3)真空圧に対し初期載荷荷重の割合が小さいほど、載荷過程の土圧係数(K) が小さいまま推移する.

参考文献: 1) Chai, J. -C.etal, ASCE, Vol.131, No.12, pp.1552-1561, 2005. 2) 横山:オドメーターにおける真空圧・載荷荷重の組み合わせによる粘性土の圧密変形特性,平成22年土木学会西部支部度講演概論集,CD-ROM,pp.497-498 3) Jia.R.: Consolidation behavior of Ariake clay under constant rate of strain, 佐賀大学大学院工学系研究科博士論文, pp.24~27, 2010.